



1 9 6 4

全国測試基地年会報告集

(真 空 测 試)

(第一分册)

国家科委

真 空 测 試 基 地 专 业 组

1964年3月

几 点 說 明

1. 第四次全国真空測試會議于1964年9月7日到15日在兰州召开。同时也一併召开了第一次真空技术會議。根据會議决定，印发本報告集(分二冊刊印)作为相互交流和参考之用。这些報告論文，虽經編委会各同志分別审閱，又請作者校核修改过。但限于出版時間，还有一些技术問題未來得及請作者重新修改或校核，也有些論点尚待进一步完善或商榷。因此，本報告集內所收論文，只能作为初稿整理。正式報告以各单位自印或公开发表的文本为准。如欲引用时，务必加以注意。

2. 本報告集由中国科学院新技术局負責出版、交流，由兰州物理研究所負責編輯。在出版方面得到兰州八一印刷厂的全力支持，順此致謝。

第四次全國真空測試會議

報告集編輯委員會

金建中（主任委員） 华中一（副主任委員）
(以姓名筆划為序)

王芳霖	王欲知	何煒	李旺奎
陆家和	陈振宇	查良鎮	范垂禎
胡炳森	費渭南	高本輝	郭恆元
崔遂先	程渭綸	楊迺恆	黃振邦

目 录

絕對量具和校准系統

新型标准压缩式真空計的研究.....	李旺奎 陈立仁 高葆杰 胡偉	(1)
一种新型結構的充油压缩式真空規.....	华中一 蔡祖泉 姜祥祺 章壯建 楊雅南 翁根森	(34)
新型压缩真空計的設計.....	費渭南	(40)
标准压缩真空計毛細管的精密測量.....	錢湧 陈有泉	(45)
动态校准系統試制報告.....	华中一 姜祥祺 沈紹清 陈桂宝	(52)
高真空量具的渦流法校准.....	姜祥祺 蔡祖泉	(61)
小孔法校准电离規.....	王芳霖等	(72)
半自動金属膨胀式真空計校驗系統.....	刘宝玲	(78)
以麦氏計校准电离計的动态平衡玻璃真空系統建立 (摘要)	李廣順 侯世儒 郝承祥	(90)

相对量具

超高真空热阴极电离規中自发 X 射線效應的消除.....	华中一	(93)
超高真空电离計.....	方厚民 吳潤宗 千祖哲 章玉鱗 吳文琦	(100)
針狀收集极热阴极电离真空計理論.....	唐政清 陈洪元 陈浩然	(107)
无磁場冷阴极电离真空規.....	袁一鵬 杜元成	(124)
环境溫度对皮拉尼真空計讀數的影响及其补偿.....	李先忠 孙广生	(139)
寬量程冷阴极电离真空規.....	章壯健	(147)
潘宁式冷規特性的研究 (摘要)	張良震	(154)
具有螺旋形阳极冷規的實驗研究 (摘要)	張達明等	(155)
热电阻真空計 (皮拉尼) 在各种因素影响下的工作性能的研究 (摘要)	
.....	李培基 張偉 王仪康	(156)
同軸圓筒形輻射真空規的最佳鋁籠結構 (摘要)	姜祥祺	(157)
关于真空測量方面的一些理論工作 (摘要報導)	王欲知	(158)
电阻真空計研究 (摘要)	徐廷偉	(159)
超高真空获得与量測的研究	
.....	陆家和 耿完楨 趙丕烈 陈修養 周錦寶 王鳳翔	(163)
潘宁規在冶金中应用的初步研究.....	張達明等 (187)
对数电离真空計.....	張希雄 (201)

廣譜和探漏技术

- 迴旋質譜計的實驗研究 潘慈常 (213)
迴旋共振質譜計特性的研究 席光康 劉恩元 宋慶熙 王恩耀 戴文祿 (227)
迴旋質譜計中的離子彈道 潘孝仁 楊惠新 (237)
試用迴旋質譜計分析複鋁鐵的放氣 某廠工藝試驗室 (252)
關於用射頻質譜計進行氣體分析的兩個問題的討論 (摘要) 張元慶等 (258)
JLH-2型氮質譜檢漏儀的研究試制 司鴻楠 呂震瑜 王南成 姜文斌 (262)
質譜探漏儀的靈敏度及其校准 查良鎮 薛祖慶 (274)
石英膜標準漏孔的試製與測定 黃心源 蔡祖泉 黃綏和 潘高春 (286)
薄膜滲氮型標準漏孔的研究 查良鎮 薛祖慶 杜繼楨 付克信 (297)
熱真空計檢漏機理的初步探討 金懋昌 (303)
鈦泵多級檢漏 王建球 (310)
“氣體放大型離子探測裝置”研究總結報告 田清平 曾昭勳 范垂禎 (319)
靜電計放大器另點漂移的研究 陳長彥 趙世琮 (326)

材料真空性能的研究

- 有機材料常溫出氣研究 高本輝 薛大同 張景欽 辛全英 (337)
國產玻璃出氣的研究 (吸附、解吸和半無窮型擴散) 陳丕瑾 彭江得 沈洪麟 (363)
金屬材料出氣的研究——一種非磁性不銹鋼的出氣性能 馬瑞霖 薛大同 曹爾強 (382)
擴散泵油化學組成與熱氧化穩定性的關係 葛文蔚等 (403)
超高真空中技術中的表面吸附問題 郭元恆 顧惕人 (414)

新型标准压缩式真空计的研究

李旺奎 陈立仁 高葆杰 胡 偉

本文第一部分从理论上探讨了压缩式真空计毛细管中水银不规则运动的机理。从而找到了在毛细管中滴油润滑的方法，较彻底地消除了毛细管中水银的不规则运动。第二部分详尽地叙述了研制成的新型标准压缩式真空计的特点和性能。它具有有油的均匀内径的毛细管，有消除水银蒸气流效应的装置，在 10^{-5} — 10^{-3} 毫压强范围内的测量误差 $\leq \pm 2.3\%$ 。最后讨论了压缩式真空计与膨胀式系统这两个绝对标准的互校结果，取得了较为满意的一致性。

第一部分：压缩式真空计毛细管中水银运动状态研究

§ 1 引言

多年来，一些研究者^[1-5]都曾观察了压缩式真空计毛细管中水银的运动状态，指出了下面许多异常现象：

1. 沿毛细管长度不同点水银的毛细压低值无规则的变化，即所谓“变化的毛细作用”(Variable Capillarity) [1]
2. 测量毛细管中水银面高于比较毛细管中水银面，即所谓的“抓住”(Catch)效应[2,3]。
3. 提升或下降水银到毛细管某一位置停止后，敲击毛细管可使水银面跳到一个新的位置。称这为“水银跳动现象”[4,5]。
4. 当水银在毛细管中下降运动时，发现有放电现象和悬挂在毛细管旁的温度计被吸引的现象[3]，认为这是“静电效应”引起的。

这些现象都将引起严重的误差，尤其是在低压(10^{-4} — 10^{-6} 毫)下测量时，将引起百分之几十或百分之几百的误差，有时甚至于产生“负压”(抓住效应)，而使用压缩式真空计进行测量成为不可能。由此可見，克服压缩式真空计毛细管中上述现象所引起的误差，就成了提高压缩式真空计测量精度和扩展测量下限的关键所在，就成了压缩式真空计研究中的核心问题。

一些研究者^[2-4]曾经指出：污染、毛细管表面性能、静电效应等是产生上述异常现象的重要因素。可采用纯净的水银，严格清洗毛细管和压缩式真空计、磨毛毛细管内壁、轻敲毛细管等措施来降低上述异常现象所引起的误差。Rosenberg^[1,6]最先于1939年用磨毛毛细管方法不但获得了一均匀内径的毛细管，同时也降低了上述异常现象引起的误差，使他所制的压缩式真空计获得了较好的精度，因此Rosenberg方法一直沿用到现在。

一些研究者^[4,5]也曾指出：目前所采用的方法还没有彻底地消除上述异常现象引起的误差，也没有探清引起上述异常现象的本质。

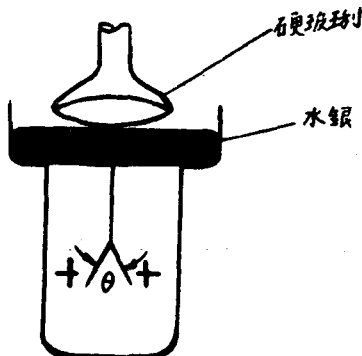
为了提高压缩式真空计在 10^{-4} 毫以下压强测量时的精度，我们的工作首先集中研究了压缩式真空计毛细管中水银运动状态，企图探清引起上述异常现象本质，找出更好的消除方法。

§ 2 压缩式真空计毛细管中水银运动状态的实验观察

污染的坏作用已被他人的许多实验所证实。我们实验中也同样证实了这一点。

我们用了下面两实验充分证实了“静电效应”的存在：

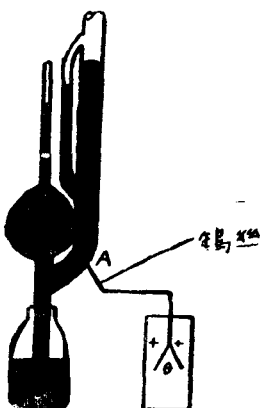
1. 在大气中玻璃面和水银面脱离接触实验。图1是当硬玻璃面和水银面脱离接触时，



(图1) “静电效应”实验装置

下面验电器的两叶片张开一 θ 角，离开距离越大， θ 角越大。这证明了当水银与玻璃面脱离接触时有静电产生，此时水银带正电，玻璃带负电。

2. 在真空中硬玻璃面和水银面脱离接触实验

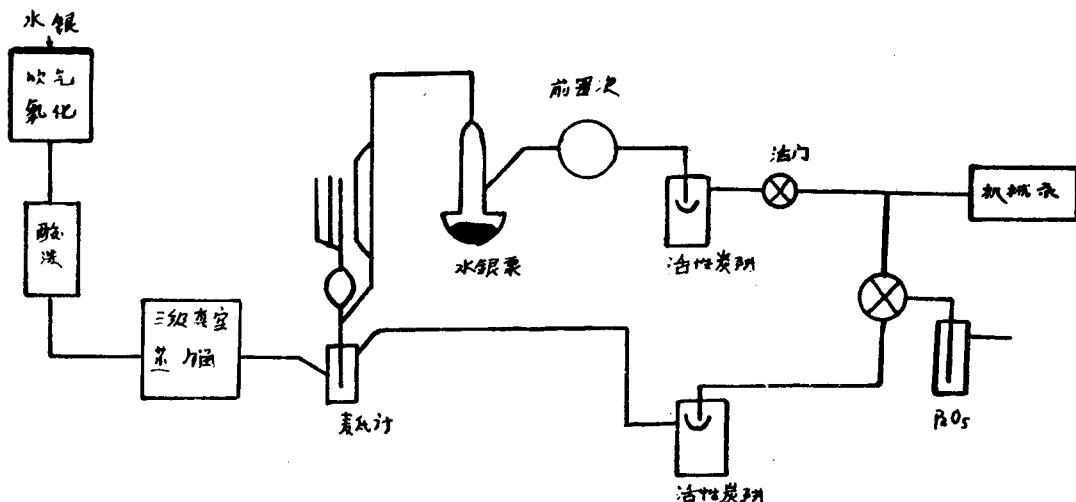


(图2) 麦氏计中的“静电效应”观察装置

图2是一简单的压缩式真空计，在A处封接一根钨丝，其一端可与压缩式真空计中水银接触，另一端与外面验电器连接。当水银从压缩式真空计上部下降时，水银与原先接触的毛细管和粗管表面脱离，此时验电器两叶片也张开一 θ 角，只是由于储存器中水银过多，电容大，所以张开的 θ 角很小。但这同样也证明了“静电效应”的存在。

根据文献[1-5]和我们的实验，最初我们假定污染和“静电效应”是引起上述异常现象的主要原因，并提出了用尽可能地避免污染和毛细管镀透明导电膜(SnO_2)的方法企图根

除上述誤差。

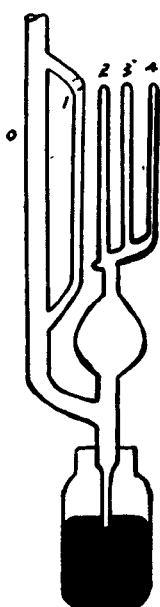


(图 3) 試驗裝置

图 3 是實驗裝置，壓縮式真空計所用的水銀是經過吹氣氧化、酸洗、三級真空蒸餾后直接蒸進壓縮式真空計的儲存器的。壓縮式真空計經過嚴格的清洗，機械泵、油活門與系統其它部分之間用活性碳阱隔開；以及壓縮式真空計升液管和儲存器間的連接磨口用 Apiezon W 代替油脂，以防止各種油蒸汽對壓縮式真空計的污染。提升用的氣體經 P₂O₅ 瓶干燥。用這些措施來保證清潔。壓縮式真空計所用毛細管內壁鍍上了一層透明的 SnO₂ 导電膜，封接前會用通表在毛細管兩端測量，證明此層電阻很小。

在這些條件下可以認為已基本上保證了清潔和消除了“靜電效應”，應該得到預期的效果。但多次重複的實驗觀察和最初的假定相矛盾，也就是在這些條件下依然存在上述一系列異常現象，尤其是存在着“抓著”效應。從這裡可以初步結論：在保證清潔的條件下“靜電效應”不是引起誤差唯一的或主要的原因。

為了進一步証實這一初步論斷和探清問題的本質，我們又較定量的進行了不同表面處理的多根毛細管內水銀柱運動狀態的實驗觀察。圖 4 是實驗的毛細管裝置。圖 5 是所測的曲線。



0 #粗管

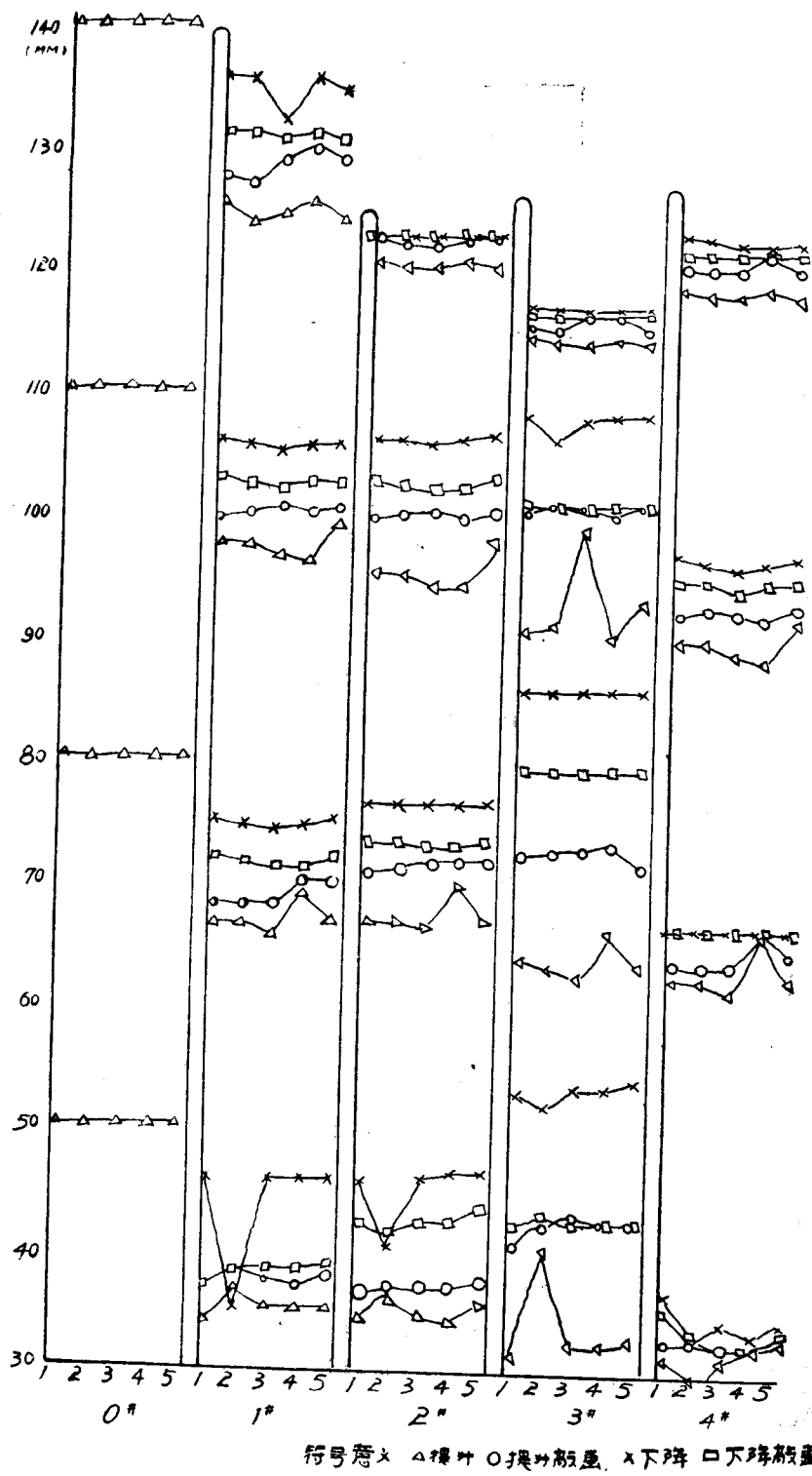
1 #、 2 # $\Phi_{\text{內}} = 0.792$ 普通毛細管

3 # $\Phi_{\text{內}} = 0.71$ 鍍 SnO₂ 毛細管

4 # $\Phi_{\text{內}} = 0.742$ 磨毛毛細管

(图 4)

毛細管中水銀
運動觀察的裝置



(图 5) 水银运动的特征曲线

图 5 曲线说明：

纵坐标表示各管水银面停止处的高度，横坐标表示实验的次数。

0#、1#、2#、3#、4#代表图4的相应粗管和毛细管。

实验点取法如下：在某压强P下取样进行测量，使粗管中水银面提升到和上升后下降到某一相同高度（压缩比不变），记下在提升停止后敲击不敲毛细管和下降停止后敲击不敲毛细管时各毛细管中水银面的四个位置。重复此过程五次。可记下各管中水银面的二十个位置，用折线把相同条件下五个点联起，共得四条折线。

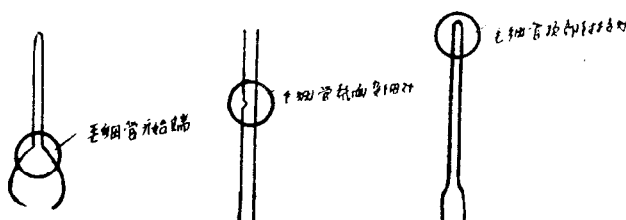
若连线是一水平线，则说明重复性好，若四折线重于一水平线，则说明不存在异常现象引起的误差。

可作出沿管不同高度（P=常数，压缩比改变）的上述特征曲线，以说明各管不同高度处异常现象的程度。

从上面曲线可以看出：“跳动”现象和“抓住”效应与表面的不同处理只有量的区别而没有质的不同。再者，提升停止后敲击毛细管时水银柱的跳上现象是无法用“静电效应”来解释的。这就进一步证明了“静电效应”在不同表面处理的毛细管中也不是引起异常现象的唯一原因。

在重复的提升和下降水银柱而进行的实验观察中，我们看到了不同表面处理的毛细管中有如下的共同规律：

1. 水银柱在毛细管内有级跳式地上升或下降运动。
2. 存在着最佳提升速度，即在此速度下提升停止后敲击毛细管基本没有“跳动”现象（过快跳下，过慢跳上）。
3. 截面突变处（图6），水银柱运动时有显著级跳现象，如在此处停住水银柱后敲击毛细管有明显的跳上（提升时）或跳下（下降时）现象，在下降水银柱时还能看到明显的“抓住”效应。



(图6) 毛细管截面突变示意图

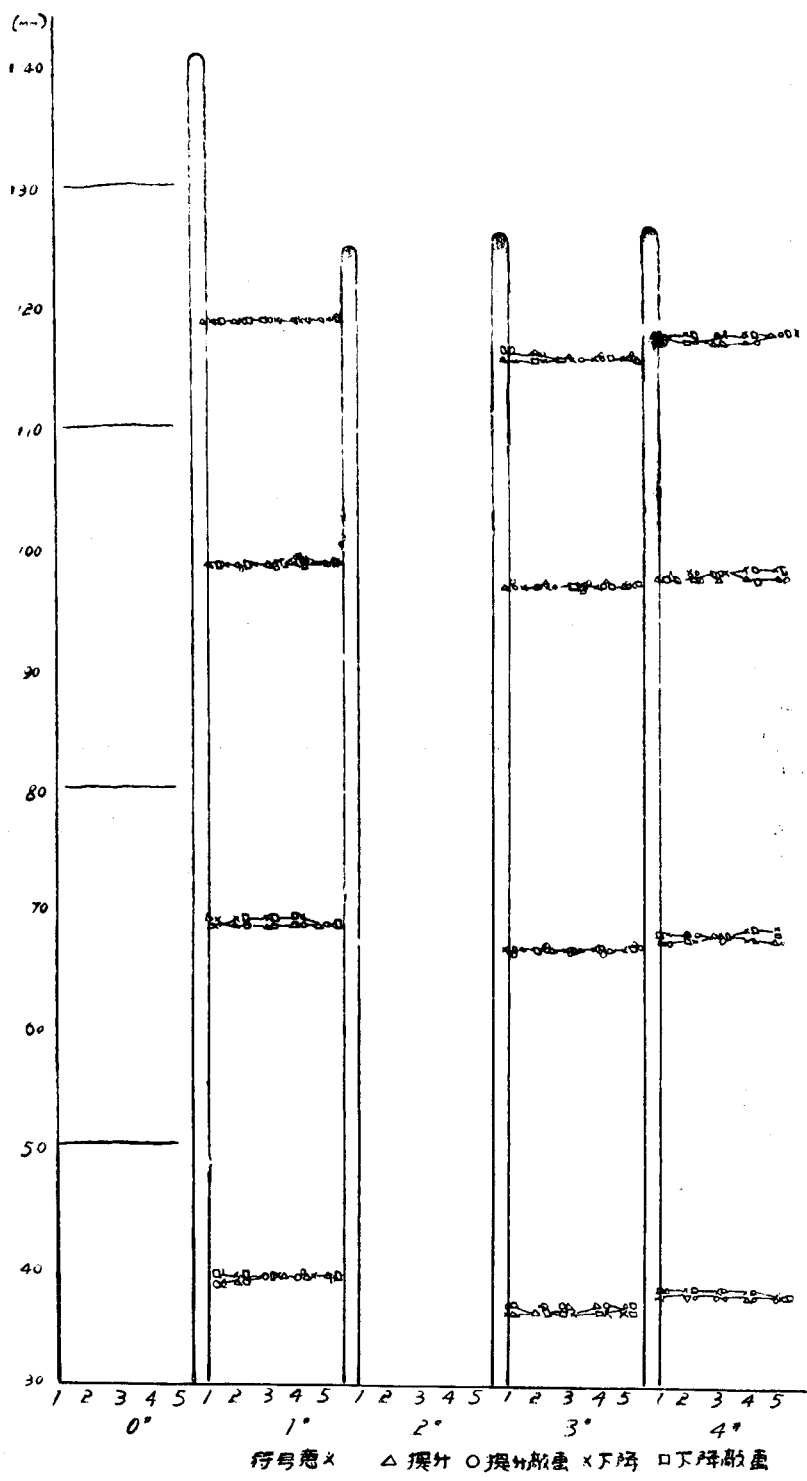
4. 直径越细，异常现象越严重。

从这些共同规律中经过初步分析，我们认为摩擦阻力可能是引起异常现象的重要原因。

§ 3 滴油润滑及其实验结果

基于摩擦阻力可能是引起异常现象的重要原因的新假设，采取了在毛细管中滴油润滑的方法企图消除异常现象。

实验仍用图4所示同一装置，打开各毛细管顶部各滴一小滴DC-704硅油，同样作类似图5之实验，所得相应曲线示于图7。



(图 7) 有油毛细管中水银运动的特征曲线

从图 7 曲线可以明显看出，在有油的毛细管中：

1. 无论提升水银柱停止后或下降停止后，敲击毛细管时水银柱基本上没有“跳动”现象。
2. 当粗管中水银面提升和下降在同一位置时（压缩比相同），各毛细管中水银面提升和下降时也基本重合于相同位置。
3. 当粗管中水银面多次被提升（或下降）在同一位置时，各毛细管中水银面每次也重合于同一位置，即重复性极好。
4. 粗管与比较毛细管水银面高度差（近似等于毛细管压低值）与高度、提升、下降基本无关，近于一常数。

比较图 5 和图 7 曲线明显地看出，同一毛细管中有油与无油时性能差别很大，表 1 把观察到的有油和无油毛细管中水银柱运动状态仔细的作一比较。

表1. 有油和无油毛细管中水银柱运动状态的观察结果

	无油毛细管中水银柱	有油毛细管中水银柱
运动状态	级跳式上升或下降。	基本平稳而匀速上升或下降。
	截面突变处级跳很大。	仍平稳运动。
	下降时顶部或截面缩小处常出现“抓住”效应。	无此现象。
静止状态	突然停止提升或下降时，不随粗管水银柱上下振动很久，而很快静止，阻尼大。	随粗管水银柱一起上下振动很久，阻尼很小。
	静止后敲击毛细管，有“跳动”现象。	无“跳动”现象，敲击时水银面围绕原先平衡位置很活跃的上下振动。
	静止后轻敲毛细管有“跳动”现象。再轻敲，水银面不跳动。但再十分严重的重敲时仍有“跳动”现象。	无此现象。
速度	在毛细管某一位置存在一最佳提升速度，在此速度下提升，无“跳动”现象。	与提升或下降速度无关。
	当粗管水银面提升和下降到同一位置时，毛细管中水银面提升和下降的位置不重合。	基本重合，与提升、下降和不同次数无关（只要压缩比相同）。
接触角	水银面与毛细管壁接触线在上升、下降运动时不整齐，在下降时凸月面有时变成平面、凹面和不规则面。	接触线很整齐，保持很好的凸月面。
	水银在毛细管不同位置静止，其接触角不相同，各处毛细压低值不同。	各处接触角大体相同，压低值也近于一常数。
其它	测量毛细管中异常现象比比较毛细管中严重得多。	无此现象。

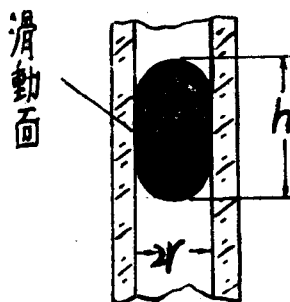
从以上曲线的比较可以看出：滴油毛细管内不问其原先表面如何处理（镀 SnO_2 、磨毛、光），基本上消除了上述异常现象，这似乎已从实验上证明了新假定的正确性。为了更好地

說明引起上述常現象的本质原因，我們還必須從理論上分析引起上述現象的具体機構。

§ 4 理 論 分 析

(一) 从“塞流”状态來分析

統觀的看，可認為在很細的毛細管中表面張力很強的水銀的流动狀態是一種“塞流”。它符合于摩擦規律，象固體之間滑動一樣，滑動面在兩者之間（圖8）。由於動靜摩擦作用之結果而產生級跳式運動（在專門論摩擦的書中兩固體間這種現象稱“粘滑”——Stick-Slip）。這裡的摩擦力是由於水銀和玻璃間的分子引力而引起的。



(图8) “塞流”示意图

為了較定量的論述這一問題，下面引出一簡單公式。在一豎直的毛細管內（圖8）有長度為 h 的一段水銀柱，其兩端氣體壓強相等（例如都是大氣壓）。此水銀柱如能開始向下運動，就需要在本身重力作用下克服水銀與玻璃之間的分子引力作用。其關係式如下：

$$mgh = \sigma \cdot 2\pi r \cdot h \quad (1)$$

其中 m 是水銀的質量， g 是重力加速度， σ 是水銀與玻璃界面的張力系數， r 是毛細管半徑， h 是水銀柱長度。

$$\therefore m = \pi r^2 h \cdot \rho \quad (2)$$

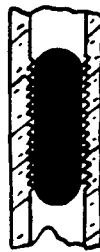
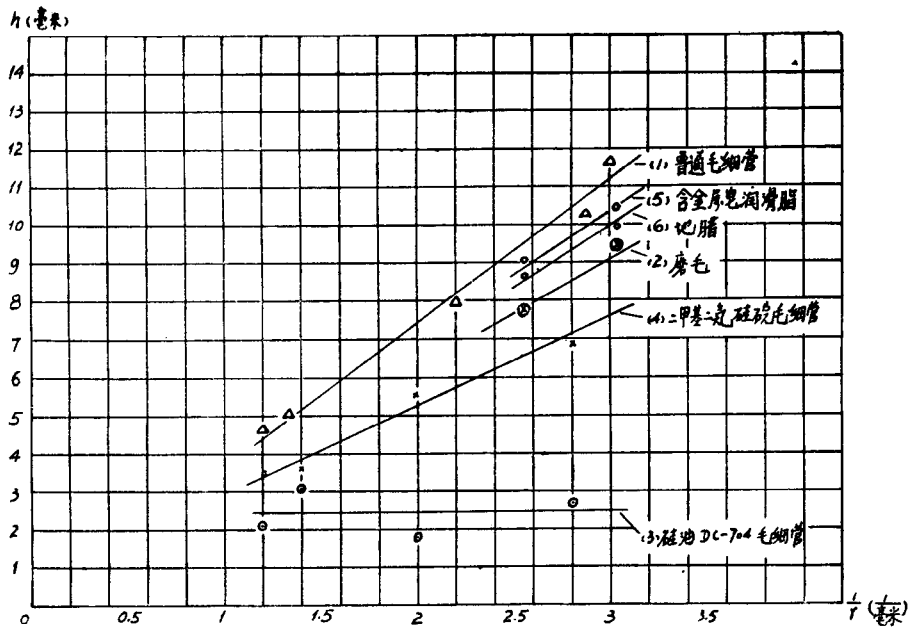
ρ 是水銀密度。

$$\therefore h = \frac{2\sigma}{\rho gr} \quad (3)$$

上式說明，毛細管中水銀柱開始能下滑的長度 h 與 $\frac{1}{r}$ 成正比。 $h < \frac{2\sigma}{\rho gr}$ 時水銀柱靜止，

$h > \frac{2\sigma}{\rho gr}$ 時水銀柱就滑動。

我們作了不同直徑的普通毛細管內水銀柱開始滑動時的長度 h 的實驗測定，其結果畫于圖9曲線1。從 $h = f(\frac{1}{r})$ 近于一直線可以結論：實驗也証實了毛細管中水銀柱的運動狀態是屬於上面分析的“塞流”狀態。滑動面在水銀柱和玻璃之間。摩擦力取決於兩者之分子引力的作用。水銀柱象塞子一樣在毛細管中運動而符合於摩擦規律。



(图10)

磨毛表面与
水銀接触的示意
图

(图9) $h = f\left(\frac{1}{r}\right)$ 的实验曲线

从这統觀的理論和所引出的公式以及毛細管中各处表面性能不尽相同的条件，我們就可以來解释如下現象：

1. 級跳式运动，“跳动”現象和“抓住”效应。
2. 直径越細和截面突然收縮处异常現象严重（因 $h \propto \frac{1}{r}$ ）。

3. 磨毛內壁毛細管性能优于普通毛細管，这是因为磨毛使玻璃壁面变得粗糙，水銀表面張力很大，因此不能鑽入这細微的凸凹不平的面中（如图10），因而增大了水銀与玻璃間的距离，导致分子引力作用（或摩擦力）减小。图9曲綫2也說明了这一点。

但是，用上述統觀理論还不能去解釋以下問題，例如：

1. 水銀柱下降运动时比上升运动时产生的异常現象严重。
2. 上升时水銀弯月面更凸，下降时弯月面变成平面、凹面或不規則面。

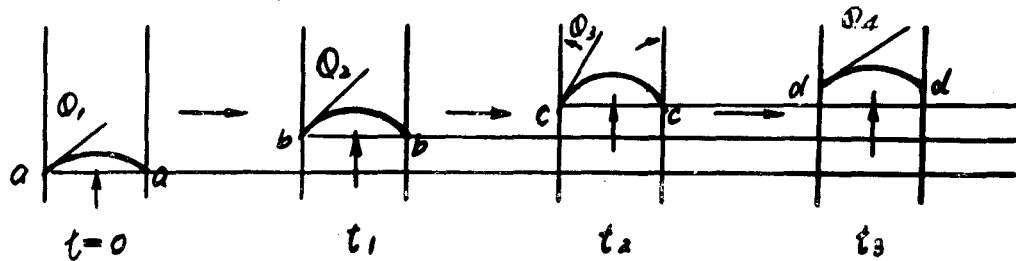
这是因为上述“塞流”状态只是一近似的解釋。更細致的觀察和分析使我們认为毛細管中的水銀运动仍不能在任何情况下完全看作是两固体間的滑动，只是在一定条件下才呈现出某些干摩擦的規律。从下面更进一步的“流动”状态就可以完全解釋“塞流”所不能解釋的現象。

(二) 从“流动”状态来分析

內摩擦理論指出[7]：在不潤湿情況下液流边界层相对于固体壁面有一滑动速度存在。又知含杂质极少的水銀与清洁的玻璃表面是不潤湿的[8]。于是，当含杂质极少的水銀沿着十分清洁的毛細管上升或下降运动时，和毛細管壁接触的一层水銀有滑动速度。由于管壁对

水銀流的作用使其沿半径有一速度陡度，軸心流速最大，边界流速最小。上升和下降的具体流动过程图示如下：

A. 上升（图11）



从此提升， θ_1 决定于水銀內聚力及其与毛細管的附着力。

因軸心流速大， $\theta_2 < \theta_1$ ，接触綫上升到b—b。

因軸心流速大， θ 继续变小，当 $\theta_3 = \theta_{\text{临}}$ 时，凸月面将被中間快速水銀层突破而向两边崩潰。

在突破后之一瞬，产生小跳动，又得一新的接触綫d—d和接触角 θ_4 。

(图11) 不润湿情况下的上升过程示意图

上升流动过程就是上面图示的循环，当流到某处停止提升时有如下两种情况：

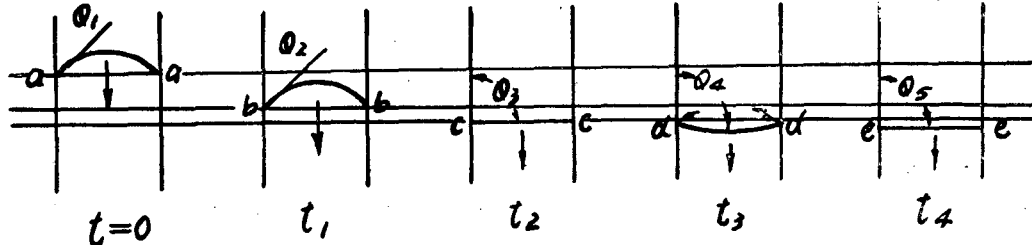
① $\theta_{\text{静}} = \theta_1$ ，那就在此处稳定（图12）。

② $\theta_{\text{临}} < \theta_{\text{静}} < \theta_1$ ，此时边界层要继续滑动一短时，使 $\theta_{\text{静}} = \theta_1$ 后稳定。



(图12) 不润湿上升的静止状态

B. 下降 (图13)



从此下降， θ_1 取决于水銀的內聚力及其与毛細管壁的附着力。

軸心流速大， $\theta_2 > \theta_1$ 。

θ 逐渐变大， $\theta_3 = 90^\circ$ 。

当 $\theta_4 > 90^\circ$

时，边界向內崩潰。

在崩潰后的一瞬間

产生小跳动，而

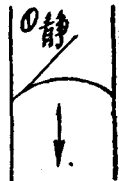
$\theta_5 = 90^\circ$ 。

(图13) 不润湿情况下的下降过程示意图

接下去将維持近于 $\theta = 90^\circ$ 之动平衡下降，到某处停止下降只有如下一种情况(图14)：

$\theta_1 < \theta_{\text{静}} \leq 90^\circ$ 此时边界层要继续下降到 $\theta_{\text{静}} = \theta_1$ 时

稳定。



(图14)

不润湿下降的静止状态

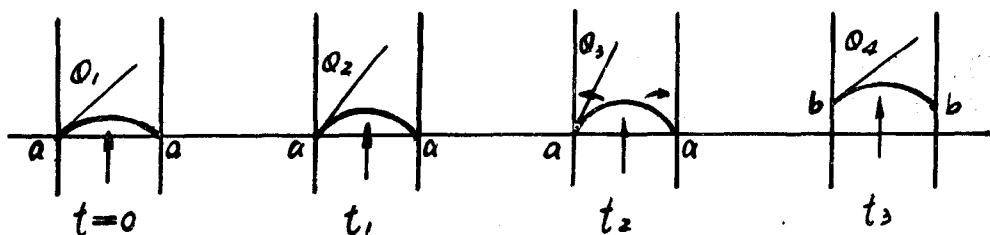
从图示流动过程可以結論：在絕對不潤濕条件下，无论水銀柱上升或下降到某一位置停止后，只要經過一短暫的慢動過程就能達到穩定，保持接觸角 $\theta = \text{常数}$ ，不會出現敲擊毛細管而引起的水銀柱“跳動”現象。

但是要获得如此絕對不潤濕的条件是十分困难的。这是

因为，即使含少量杂质的水銀，在空气中放置一些時間后就开始粘附玻璃[8]。另一方面，毛細管內壁略有不清洁也会增加与水銀的粘附，而要永远保持水銀和毛細管內壁的清洁不是件容易的事。

現在我們再来研究另一极端情况：假設由于某种原因水銀与毛細管內壁完全粘附。內摩擦理論指出[7]：在潤濕（或粘附）的情况下，液流边界层流速与固体壁面相同，即两者間沒有相对滑动，流体仍有一速度陡度，軸心流速最大。此情况下毛細管中水銀柱具体流动过程图示如下：

A, 慢速上升 (图15) :



从此提升， θ_1 决定于水銀的內聚力及其与毛細管內壁的附着力。接触綫 $a-a$ 。

軸心流速大边界靜止， $\theta_2 < \theta_1$ 和接触綫不变，仍为 $a-a$ 。

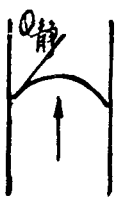
θ 继续变小，当 $\theta_3 = \theta$ 临时，凸月面被中間快速水銀层突破而向两边崩潰。

在突破后的一瞬間产生跳动，得到一个新的接触角 θ_4 ，接触綫跳到 $b-b$ 。

(图15) 润湿情况下的上升过程示意图

上升流动过程就是上述图示的循环，当流到某处停止提升有如下两种情况：

①, $\theta_{\text{静}} = \theta_1$ 在此處稳定 (这就是最佳提升速度状态时) (图16)。



(图16)

润湿上升的静止状态

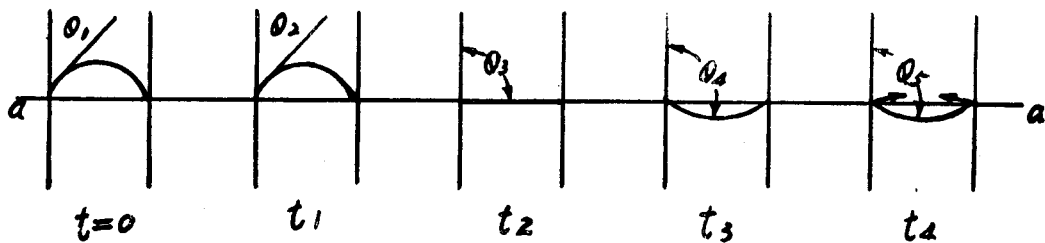
②, $\theta_{\text{临}} < \theta_{\text{静}} < \theta_1$ ，也在此處稳定，因为边界层靜止和中間层在上升压力作用下还不能突破凸月面的束縛，所以提升压力被此凸月面所平衡，而使水銀柱处在一应力状态。

这时如果敲击毛細管，就促使弯月面被突破或使边界层与管壁脱离接触，而在提升压力作用下使水銀面跳上到另一平衡位置。

B, 快速上升运动中的流动过程和慢速提升一样，只是

在停止提升后，由于中间快速水银层之惯性力作用，不但能突破凸月面，而且有可能使水银面冲过提升压力所应提升到的平衡位置。这样接下去象水银下降运动了，这时如敲击毛细管，水银面跳下（见下面分析）。

C, 下降 (图17) :



从此下降， θ_1 决定水银的内聚力及其与毛细管壁的附着力。	中間流速大 $\theta_2 > \theta_1$ 接触線不变。	$\theta_3 = 90^\circ$ 。	$\theta_4 > 90^\circ$ ，但由于粘着边界不但不滑动也可不	当 $\theta_5 = \theta_{\text{临}}$ 时由于拉边界层的力增大而克服了粘着力，使边界向內崩潰。
---------------------------------------	---------------------------------------	-------------------------	--	--

(图17) 润湿情况下的下降过程示意图

接下去的下降过程将是中间下降 \rightarrow 边界崩溃 \rightarrow 中间下降的循环往复。到某处停止下降只有如下一种可能情况 (图18)。



(图18)
润湿下降的静止状态

$90^\circ < \theta_{\text{静}} < \theta_{\text{临}}$ 在此处稳定，因拉力还不足以克服粘着力。这一凹月面就抵消了一部分下降压力而使水银柱处在一应力状态。如这时敲击毛细管，可帮助水银与玻璃脱离接触，而在下降压力作用下使水银面跳下到另一位置。不断的敲击有可能使 $\theta_{\text{静}} \rightarrow \theta_1$ 而消除了粘着力的束缚。

从 $\theta_{\text{静}}$ 与 θ_1 比较看出：下降时 $\theta_{\text{静}}$ 相对 θ_1 的变化比上升时 $\theta_{\text{静}}$ 相对 θ_1 的变化大很多。因此，下降静止后凹月面所能抵消的下降压力要大的多。这就导致下降停止后敲击毛细管使水银面跳下的距离大于上升停止后敲击毛细管使水银面跳上的距离。

从上分析也可看出：敲击毛细管只是促进由于粘着而产生的束缚力的解除。但是，能否完全解除还很难判定。有时在轻敲后再重敲仍有跳动，这说明轻敲不可靠，就是重敲后不再跳动也不能说完全解除了束缚。因为在相同压缩比下，上升和下降停止后，即使重敲，水银面也并不重合。

上面我们仅就水银和玻璃接触的两个极端情况——完全不润湿和完全粘附研究了毛细管中水银流动过程，从而阐述了引起异常现象的机构。但是，实际情况多半是介乎于两者之间，而在同一毛细管不同位置和同一位置不同方位，其不润湿和粘附性能也不尽相同，因此就造成了毛细管中水银柱运动的无一定规则的异常现象。

这一“流动过程”图象的真实性，不但与我们实际观察的图象相一致（尤其是在粗管中